

*Краткие сообщения по физике № 8 1983*

АНАЛИЗ ИОННОЙ КОМПОНЕНТЫ ЛАЗЕРНОЙ ПЛАЗМЫ

В. А. Грибков, О. Н. Крохин, Л. И. Крупник, П. В. Сылин

УДК 533.9.07

Представлены распределения по скоростям ионов алюминия, полученные в результате анализа ионной компоненты лазерной плазмы с помощью масс-спектрометра Томсона.

Получение и исследование ионов лазерной плазмы проводилось на установке, описанной в работе /1/. Излучение неодимового лазера длительностью 2 нс фокусировалось по нормали к поверхности массивной, конической алюминиевой мишени с раствором ко-нуса 100°. Диаметр пятна фокусировки 200 мкм. Плотность потока энергии лазерного излучения на поверхности мишени  $q = 10^{13}$  Вт/см<sup>2</sup>. Для анализа ионов был использован масс-спектрометр Томсона, регистрирующий ионы разлетающейся плазмы под

углом  $40^\circ$  к нормали к поверхности мишени. В качестве детектора использовались фотопластинки типа МК.

Полученные масс-спектрограммы дали информацию о зарядовом и энергетическом составе ионов алюминия лазерной плазмы. Зарегистрированы ионы с зарядом до  $Z = 12$  и энергией до 170 кэВ. В результате фотометрирования фотопластинок с полученными параболами были определены интенсивности почернения фотоэмulsionи  $P$ . Представленные на рис. Ia экспериментальные кривые отвечают зависимостям почернения  $P$  от скорости ионов алюминия.

Почернение является функцией многих параметров, исследование зависимости от которых явилась предметом настоящей работы.

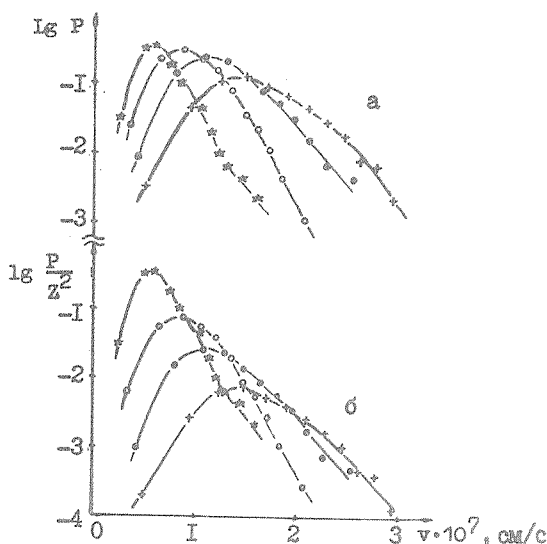


Рис. I а) Зависимости интенсивности почернения в единичном интервале скоростей  $\Delta P/\Delta v$  от скорости ионов, построенные по результатам фотометрирования масс-спектрограмм; б) зависимости отношения интенсивности почернения к квадрату заряда ионов в единичном интервале скоростей  $\Delta P/Z^2 \Delta v$  от скорости ионов:

$$\star - Al^+, \circ - Al^{+2}, \circ - Al^{+3}, + - Al^{+4}$$

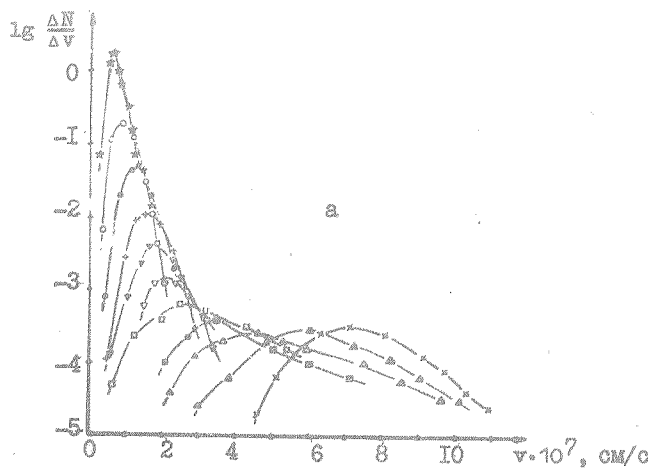
Интенсивность покернения зависит не только от числа частиц  $\Delta N$ , но и от заряда ионов. На основании работы /2/ мы нашли зависимость  $P(Z)$ . Для этого мы воспользовались следующим важным свойством градуировочных кривых зависимости  $P$  от  $b$  — заряда, приходящегося на единицу площади фотопластинки, вытекающим из данных работы /2/. Именно, при небольших интенсивностях покернения, когда  $P$  пропорционально  $b$ , оказывается, что  $P(Z=2) = 4P(Z=1)$ , при одинаковом числе и энергии ионов, взвешивших эти покернения. Это отвечает факту более сильного взаимодействия ионов  $Al^{+2}$  по сравнению с ионами  $Al^+$  с веществом фотозмульсии, которое, как можно теперь утверждать, пропорционально  $Z^2$ . Такая зависимость  $P(Z)$  отвечает пропорциональности сечения взаимодействия квадрату заряда падающей частицы. На рис. 1б представлены кривые, характеризующие зависимость  $P(Z)/Z^2$  от скорости ионов.

Энергии ионов, для которых градуировались фотопластинки в работе /2/, не превышали 50 кэВ. При таких энергиях зависимость интенсивности покернения от скорости для ионов  $H^+$  является линейной в диапазоне скоростей до  $3,1 \cdot 10^8$  см/с, который перекрывает диапазон скоростей ионов алюминия в нашем эксперименте. Аналогичная линейная зависимость наблюдается и для однозарядных ионов с другими атомными массами, в диапазоне скоростей до  $0,8 \times 10^8$  см/с. Продолжая эту линейную зависимость на весь диапазон интересующих нас скоростей ионов алюминия, получим в явном виде зависимость интенсивности покернения от числа падающих на фотопластинку ионов  $\Delta N_2$ :

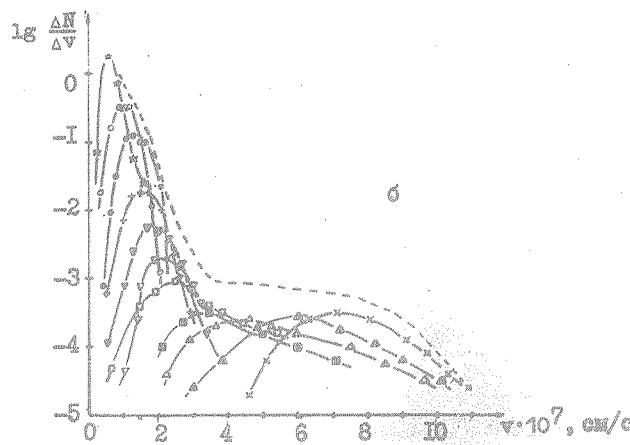
$$P(Z, v) = 16,6 \Delta N_2 Z^2 eV/S, \quad (I)$$

где  $e$  — заряд электрона в кулонах,  $S$  — фотометрируемая площадь фотопластинки в квадратных сантиметрах,  $v$  — скорость ионов, падающих на фотопластинку, в сантиметрах в секунду, коэффициент пропорциональности в (I) получен из градуировочных кривых работы /2/.

На рис. 2а показано распределение ионов разной зарядности по скоростям, полученное при обработке спектров по формуле (I). Кривые, соответствующие ионам разных зарядов, дополняют друг друга и образуют одну общую кривую для ионов всех зарядностей, что позволяет предположить, что процесс формирования ионов меньшей



a



б

Р и с. 2. Распределение ионов по скоростям, полученное без учета перезарядки (а) и с учетом перезарядки (б):  $\star$  —  $\text{Al}^{+}$ ,  $\circ$  —  $\text{Al}^{+2}$ ,  $\diamond$  —  $\text{Al}^{+3}$ ,  $+$  —  $\text{Al}^{+4}$ ,  $\vee$  —  $\text{Al}^{+5}$ ,  $\triangledown$  —  $\text{Al}^{+6}$ ,  $\square$  —  $\text{Al}^{+7}$ ,  $\blacksquare$  —  $\text{Al}^{+8}$ ,  $\triangle$  —  $\text{Al}^{+9}$ ,  $\Delta$  —  $\text{Al}^{+10}$ ,  $\times$  —  $\text{Al}^{+11}$ . Пунктиром изображено суммарное распределение ионов всех зарядностей

зарядности соответствует рекомбинации многозарядных ионов в течение разлета после их ускорения. Видно, что характер функции распределения соответствует экспоненциальной зависимости от скорости, которая, в частности, получается в предположении изотермичности разлета /3/.

Помимо парабол, на фотопластинках наблюдались интенсивные следы, вызванные ионами алюминия, перезарядившимися внутри прибора между анализатором и формирующим зазором. Для этих ионов также можно построить распределения по скоростям. Число перезарядившихся частиц уменьшается с увеличением их заряда от 50% для ионов  $Al^{+2}$ , перезарядившихся в  $Al^+$ , до 10% для ионов  $Al^{+7}$ , перезарядившихся в  $Al^{+6}$ . Такое большое относительное число перезарядившихся ионов, по-видимому, может быть объяснено плохими вакуумными условиями в трубе, соединяющей анализатор с мишениной камерой, хотя давление в последних составляло  $5 \cdot 10^{-6}$  торр. Распределения ионов по скоростям до процесса перезарядки представлены на рис. 26.

Сложив все распределения по скоростям для ионов каждой зарядности  $\Delta N_z/\Delta v$ , получим общее распределение ионов по скоростям  $\Delta N/\Delta v$ , которое можно поставить в соответствие автомодельному разлету плазмы с двумя значениями температуры электронов. Определенные по тангенсам угла наклона функции распределения звуковые скорости и температуры электронов /4/ составили:  $C_1 = 3,2 \cdot 10^6$  см/с, температура холодных электронов  $T_e = 30 \pm 40$  эВ;  $C_2 = 1,5 \cdot 10^7$  см/с, температура горячих электронов  $T_h \approx 500$  эВ.

Полное число приведших на фотопластинку ионов  $N = 1,5 \times 10^7$ ; количество ионов, соответствующих быстрой части распределения, составило менее 0,5% от полного числа частиц.

Таким образом, в настоящей работе изложены первые результаты исследования ионов лазерной плазмы с использованием контролируемого метода отбора ионов из плазмы для проведения масс-спектрометрических измерений. Применение калиброванных фотоземульсий для регистрации ионов обеспечило получение количественной информации по всему спектру скоростей для ионов всех зарядностей.

Поступила в редакцию  
29 марта 1983 г.

## Л и т е р а т у р а

1. Н. Б. Буянов и др., Краткие сообщения по физике ФИАН № 6, 7 (1983).
2. Л. И. Крушин, Т. А. Азарова, И. Г. Шулика, в сб. "Исследование плазменных структур", "Наукова думка", Киев, 1967 г., с. 191.
3. А. В. Гуревич, Л. П. Питасовский, в сб. "Вопросы теории плазмы", вып. 10, Нелинейная динамика, Атомиздат, М., 1980 г., с. 3.
4. L. M. Wickens, J. E. Allen, P. T. Rumsby, Phys. Rev. Lett., 41, 243 (1978).